

مجله مخاطرات محیط طبیعی، دوره هفتم، شماره ۱۸، زمستان ۱۳۹۷

تاریخ دریافت مقاله: ۱۳۹۶/۰۱/۲۱

تاریخ پذیرش مقاله: ۱۳۹۷/۰۴/۰۵

صفحات: ۵۱ - ۶۸

پنهن‌بندی سیلاب با استفاده از تحلیل فازی (مطالعه موردی: شهر ساری)

حسن محمودزاده^{۱*}، مائدہ باکویی^۲

چکیده

هر ساله شاهد هستیم که بلاایای طبیعی خسارات عمدۀ مالی و جانی به جوامع انسانی وارد می‌سازد و متأسفانه کشور ما هم هر چند صباحی طعم تلخ این واقع را می‌چشد. سیل، زلزله، خشکسالی، سرمایه‌گی، طوفان و ... خسارات جانی و مالی فراوانی به کشور وارد می‌آورد و این تبیین تمهداتی جهت کاهش خسارات ناشی از این بلاایا را می‌طلبد. قطعاً قدم اول شناخت و درک این پدیده‌ها می‌باشد. توسعه روند شهرنشینی و تخریب پوشش گیاهی، فرسایش خاک، تغییرات آب و هوایی جهانی اهمیت پرداختن به موضوع سیلاب شهری را بیش از پیش مورد موردنظر توجه قرار داده است. این تحقیق به منظور پنهن‌بندی خطر سیل در شهر ساری با استفاده از تکنیک‌های تصمیم‌گیری چندمعیاره صورت گرفت. با استفاده از نه معیار، فاصله از رودخانه، ضریب رواناب، ضریب CN، تراکم جمعیت، تراکم مسکونی، شبب، کاربری اراضی، قدمت ابنيه و فضای باز توسعه یافت. با تهیه لایه‌های موردنیاز، به تعیین وزن هر لایه براساس میزان اهمیت آن‌ها در بروز سیلاب اقدام گردید. پس از وزن دهی نهایی، لایه‌ها به صورت دو به دو توسط نرم افزار Expert Choice مقایسه و ماتریس حاصل از این مقایسات به نرم افزار Idrisi منتقل و ضریب نهایی برای هر لایه تعیین شد. در نهایت، با اعمال این ضرایب از طبق نرم افزار ArcGIS نقشه پنهن‌بندی خطر سیلاب در محدوده شهر ساری تهیه شد. نتایج نشان می‌دهد که خطر سیل در مرکز و جنوب شهر از بیشترین مقدار برخوردار بوده است. نقشه پنهن‌بندی خطر سیل نشان می‌دهد که ۲۴/۱۲ درصد از محدوده نقشه در پنهن‌بندی خطر خیلی زیاد و ۳۷/۰۵ درصد در پنهن‌بندی خطر خیلی کم قرار گرفته‌اند. جهت کاهش خطر به مقاوم سازی ساختمان‌های اطراف رودخانه برای کاهش خسارات ناشی از سیل می‌باشد.

واژگان کلیدی: پنهن‌بندی سیلاب، شهر ساری، مدل فازی، سیستم اطلاعات جغرافیایی.

۱- استادیار، چگرافیا و برنامه‌ریزی شهری، دانشگاه تبریز(نویسنده مسئول)

۲- دانش آموخته کارشناسی ارشد، سنجش از دور و سیستم اطلاعات جغرافیایی، دانشگاه تبریز

مقدمه

سیل در میان مخاطرات طبیعی از فراوان ترین و ویرانگرترین مخاطرات محیطی هستند که با تأثیر بر زندگی انسان، باعث آسیب‌های شدید اقتصادی در سراسر جهان می‌شوند (Khan et al, 2011). کاملاً مشهود و قابل درک است که تغییرات اقلیمی و آب و هوایی در آینده باعث افزایش شدت و فرکانس سیل در بسیاری از مناطق جهان می‌شود (Jonkman et al, 2012). رشد جمعیت، توسعه شهری و صنعتی شدن جوامع آثار نامطلوبی در هیدرولوژی حوضه آبریز بر جای می‌گذارد و به تشدید سیلاب‌ها، افزایش آلودگی‌ها و کاهش جریان پایه و همچنین کاهش تغذیه سفره آب‌های زیرزمینی می‌انجامد. به بیان دیگر عمدت تحولات هیدرولوژیکی ناشی از شهرسازی و نوع کاربری اراضی حوضه‌های شهری را می‌توان در تغییر حجم کل رواناب و تغذیه ناشی از بارندگی و همچنین تغییر در میزان آبدی‌های سیلاب‌ها و کیفیت آب خلاصه کرد (انصاری‌منش، ۱۳۹۱). سیلاب از جمله بلایای طبیعی شناخته شده است که طبق گزارش جهانی برنامه عمران سازمان ملل در مورد خطر بلایای طبیعی، همراه با زلزله و خشکسالی، بالاترین رتبه را از لحاظ خسارت مالی و جانی به همراه دارد (بهشتی‌راد و همکاران، ۱۳۸۸). اکثر شهرهای ایران در خروجی حوضه‌ها بنا شده‌اند و شهر ساری نیز از این امر مستثنی نیست. افزایش سطوح نفوذناپذیر که ناشی از شهرسازی و احداث ساختمان بر خاک‌های نفوذناپذیر است، طبعاً از سطوح نفوذناپذیر حوضه که قادر به جذب بخشی از بارندگی است، کاسته و در نتیجه، بر حجم کل رواناب شهر افزوده است (طاهری بهمه‌انی و بزرگ‌زاده، ۱۳۷۱). بروند افزایش سیل در ۵ دهه گذشته نشان می‌دهد که تعداد وقوع سیل در دهه ۸۰ نسبت به دهه ۴۰ تقریباً ۱۰ برابر شده است و به عبارت ۹۰ درصد افزایش یافته است (عبدی، ۱۳۸۵). سطح روکش شده شهر، بام ساختمان‌ها و سطوح خیابان‌ها و پارکینگ‌ها همانند مانعی در برابر نفوذ آب باران به داخل خاک و تغذیه‌ی آب‌های زیرزمینی عمل می‌کند و سبب می‌شود که بخش بیشتری از بارندگی به رواناب سطحی تبدیل شود (اصغری مقدم، ۱۳۸۴، ۱۶۵). پیش‌بینی سیل، به عنوان ابزار مدیریت سیلاب، بیش از ۴۰ سال است که در کشورهای در حال توسعه اهمیت یافته و تنها در کشور آمریکا، بیش از ۴۰۰ سامانه پیش‌بینی سیل راه‌اندازی شده است (حیدری، ۱۳۷۹). نقشه پهنه‌بندی خطر سیلاب می‌تواند به منزله ابزاری مؤثر در برنامه‌ریزی مسیر توسعه آینده شهر، همچنین شناخت نواحی‌ای که توسعه زیرساخت‌های تخلیه و زهکشی سیلاب موردنیاز استفاده شود (Buchele et al, 2006).

پژوهش‌های مختلفی در ایران و جهان با این موضوع پژوهش صورت پذیرفته است که می‌توان به مواردی چند اشاره نمود: جیمز و همکاران (۱۹۸۰) اقدام به پهنه‌بندی خطر سیل در ایالت یوتای آمریکا کردند و بیان داشتند که به علت تغییرات مناطق سیل‌گیر از سیلی به سیل دیگر، باید توجه داشت که در مناطق نقشه‌بندی شده، خطرها خیلی زیاد یا کم نشان داده نشوند. هیالمارسون (۱۹۸۸) برای پهنه‌بندی خطر سیل در مناطق آریزونای غربی و شرقی با استفاده از خصوصیات هیدرولوژیکی و ژئومورفولوژیکی، به بررسی خطرهای تهدید کننده عملیات مهندسی پرداختند. در پایان با توجه به فرسایش کناری سواحل و بستر رودخانه‌ها و ته نشست رسوبات در هنگام وقوع و فروکش جریان سیل، ضوابط موردنظر در پهنه‌بندی منطقه مورد بررسی و مناطق مشابه را ارائه کردند. لانگ و موهانتی (۱۹۹۷) با استفاده از سیستم اطلاعات جغرافیایی، در منطقه ماهانادی واقع در اوراسیای هندوستان، اقدام به پهنه‌بندی سیل کرده و مدیریت سیلاب‌ها براساس پهنه‌بندی را به منزله یک روش غیر سازه‌ای کنترل سیلاب معرفی و آن را بهینه

کردند. کوریا و همکاران (۱۹۹۹) با استفاده از سیستم اطلاعات جغرافیایی و مدل‌های هیدرولوژیکی و هیدرولیکی، در دشت‌های سیلابی که با توسعه شهری همراه است و در معرض خطر سیل قرار دارند، تأثیر کنترل کاربری اراضی در کاهش خطر سیل را ارزیابی و در ادامه اقدام به پهنه‌بندی و آنالیز سیل کردند. اسلام و سادو (۲۰۰۰) با استفاده از داده‌های سنجش از دور از سیل تاریخی شال ۱۹۸۸ بنگلادش، یک نقشه خطر سیل را برای این کشور به کمک سامانه‌های اطلاعات جغرافیایی (GIS) تهیه کردند. لین و همکاران (۲۰۰۰) پهنه‌بندی حوزه‌ی آبخیز کارولینای شمالی را به منزله BMPs (مناسب ترین اقدام مدیریتی) بررسی و آن را به عنوان عملکردی بسیار مفید در مدیریت حوزه‌های آبخیز معرفی کردند. یانگ و تسای (۲۰۰۰) مدلی به نام FGS را برای پهنه‌بندی خطر سیلاب، محاسبات خصوصیات سیل و نشان دادن خصوصیات سیل در کشور تایوان طراحی کردند. در این مدل علاوه بر شبیه سازی دشت سیلابی، از منحنی عمق خسارت نیز برای تعیین مقدار خسارت استفاده کردند. پلات (۲۰۰۲) در تحقیقات خود با نام خطر سیل و مدیریت آن، پهنه‌بندی خطر را به عنوان شیوه کاملاً مشخصی برای ساماندهی و مدیریت خطرهای ناشی از عوامل طبیعی، زیست محیطی یا انسانی که از بین آن‌ها سیل نیز بسیار بازتر است، تعریف کرد. حسین‌زاده و جهادی (۱۳۸۶)، تأثیر گسترش شهر مشهد را بر الگوی زهکشی طبیعی و تشدید سیلاب‌های شهری مطالعه کرده‌اند. نتایج نشان داد که گسترش شهر به طور مستقیم و غیر مستقیم موجب تشدید سیل خیزی در این شهر گردیده است. امیر احمدی و همکاران (۱۳۹۰) در تحقیقی با عنوان ریزپهنه‌بندی خطر سیلاب در محدوده شهر سبزوار با استفاده از نرم‌افزارهای Export Choice و Arc GIS و Idrisi اقدام به پهنه‌بندی نمود. محمود‌زاده و همکاران (۱۳۹۴) در پژوهشی با نام ریزپهنه‌بندی خطر سیلاب در شهر تبریز با استفاده از روش AHP با استفاده از نرم افزار ArcGIS اقدام به پهنه‌بندی خطر سیل نمود و نقشه پهنه‌بندی خطر سیل را ترسیم کرده و همچنین نقشه ارزیابی خسارت شهر تبریز را نیز ترسیم کرده‌اند.

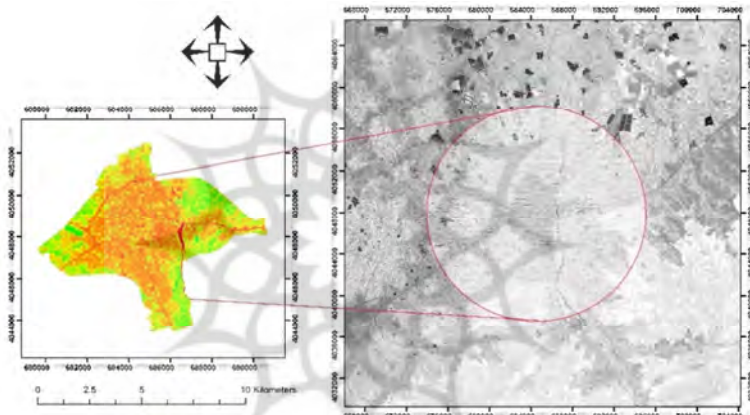
دسترسی به اطلاعات دیجیتال و کارآیی تحلیل‌های کامپیوترا، GIS نقش بسزایی را ایفا نموده است. با رشد و توسعه فناوری‌های نوین، روش‌های موجود تهیه نقشه‌های پهنه‌بندی سیل و محیط نمایش آن‌ها نیازمند استفاده از ابزاری مؤثر است. نقش GIS به عنوان ابزاری قدرتمند همچنان رو به افزایش است. چنین سیتمی توانایی قابل ملاحظه برای مدیریت سیل، قبل از وقوع سیل و حتی مدیریت بحران و امداد و نجات را در اختیار مدیران و کارشناسان مربوطه قرار می‌دهد.

هدف کلی این تحقیق پهنه‌بندی شهر ساری براساس میزان خطرپذیری سیلاب و اهداف جزئی آن شامل: تهیه نقشه‌ها و لایه‌های لازم برای پهنه‌بندی و وزن دهی به لایه‌های مؤثر در سیلاب است. در این پژوهش سعی شده است که به دلیل افزایش بیش از حد وقوع سیلاب در مناطق شمال کشور، اقدام به بررسی، تجزیه و تحلیل و خطرات ناشی از وقوع سیلاب‌های بی رویه بپردازیم. بیشتر تحقیقات قبلی انجام شده در مناطق خشک صورت گرفته زیرا در این مناطق سیلاب به صورت ناگهانی و همیشگی بوده است، اما به دلیل تغییرات آب و هوایی، شمال کشور بیش از پیش در خطر وقوع این سیلاب‌های ناگهانی قرار گرفته است. ما با توجه به سابقه سیلاب و همچنین نقشه‌های مختلف به

بررسی و کاهش خطرات سیلاب‌های ناگهانی پرداختیم تا ما بتوانیم از خسارات مالی، جانی و اقتصادی آتی در شهر جلوگیری نماییم.

منطقه مورد مطالعه

شهر ساری با جمعیت ۲۹۶۴۱۷ نفر از لحاظ موقعیت جغرافیایی در طول شرقی ۵۳ درجه و عرض شمالی ۳۶ درجه واقع شده است. از لحاظ موقعیت طبیعی، این شهر در جنوب دریای مازندران و در منطقه جلکه‌ای شهرستان ساری قرار گرفته است. رودخانه تجن که از پرآب ترین رودخانه‌های شهرستان ساری می‌باشد از ارتفاعات جنوبی شهرستان سرچشممه گرفته و از بخش شرقی شهر عبور می‌نماید. از لحاظ توپوگرافی عمومی شهر ساری در طبقه ارتفاعی ۱۰۰ - استقرار یافته و شبیه عمومی شهر از جنوب به شمال و بسیار ملائم است.



شکل ۱. موقعیت جغرافیایی منطقه مورد مطالعه (منبع: نگارندگان)

مبانی نظری تحقیق

پوشش گیاهی

به عنوان یکی از عمدترین طبقات کاربری اراضی، پوشش گیاهی نقش مهمی در قضاوت افراد در مورد پنهانه بندی سیلاب دارد. سرسبزی بالا باعث کاهش بروز سیلاب در منطقه می‌شود. سرسبزی مربوط به پوشش گیاهی تفاضلی نرمال شده (^۱NDVI) اندازه گیری می‌شود. با استفاده از تصویر ^۲ETM+، شاخص پوشش گیاهی براساس رابطه ذیل بدست می‌آید:

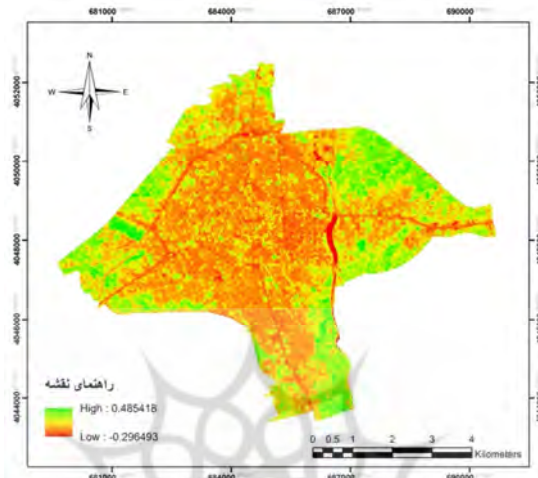
$$\text{NDVI} = (\text{NIR} - \text{R}) / (\text{NIR} + \text{R}) \quad (1)$$

که NIR نشان دهنده باند مادون قرمز نزدیک و R نشان دهنده باند قرمز می‌باشد. شاخص NDVI دارای دامنه ۱ + تا ۱ - می‌باشد که به سمت ۱ + نشان دهنده افزایش پوشش گیاهی و به سمت ۱ - نشان دهنده کاهش پوشش گیاهی

1- Normalized Difference Vegetation Index

2- Enhanced Thematic Mapper Plus

است. برای استخراج پوشش گیاهی از تصویر ETM+ بدین منظور شاخص پوشش گیاهی تفاضلی نرمال شده (NDVI) به کار گرفته شده که نتیجه آن به صورت نقشه در زیر آمده است:



شکل ۲: نقشه پوشش گیاهی شهر ساری (منبع: نگارندگان)

خصوصیات فیزیکی حوضه

شامل مساحت حوضه، محیط حوضه، طول حوضه، شکل حوضه و ارتفاع حوضه می‌باشد. خصوصیات فیزیکی حوضه‌های آبریز را می‌توان به دو گروه کلی تقسیم‌بندی کرد: خصوصیات مربوط به پستی و بلندی و خصوصیات مربوط به نفوذپذیری. این دو ویژگی از عوامل مؤثر بر ایجاد رواناب و سیل می‌باشند.

مساحت حوضه: بارزترین مشخصه حوضه می‌باشد. دبی سیلاب و حجم رواناب حوضه به طور مستقیم به مساحت حوضه بستگی دارد. هرچند مساحت کل حوضه بر مقدار و شدت رواناب مؤثر است اما تفکیک بخش‌های نفوذپذیر و نفوذناپذیر حوضه و تعیین مقدار یا درصد مربوط به مساحت هر کدام از آن‌ها بهتر می‌تواند چهره حوضه را از نظر سیل خیزی روشن کند.

خصوصیات هیدرولوژیکی حوضه

شامل زمان تمرکز، شدت بارندگی، ارتفاع رواناب، حجم رواناب، شدت-مدت-دوره بازگشت می‌باشد. زمان تمرکز: برای نشان دادن عکس العمل حوضه نسبت به بارندگی از نمایه زمان تمرکز حوضه استفاده می‌شود.

$$Tc = 0.0949(L3/H)0.385 \quad (2)$$

حجم رواناب: یکی از کاربردی‌ترین پارامترها در ارزیابی سیلاب شهری. اندازه گیری حجم رواناب هر زیرحوضه می‌باشد که مقدار آن بر حسب مترمکعب، حاصلضرب مقدار بارندگی و مساحت حوضه می‌باشد.

ضریب رواناب (C)

حاصل از نسبت تقسیم ارتفاع رواناب (R) بر ارتفاع بارندگی (P) می‌باشد. ضریب رواناب به صورت میانگین وزنی و با استفاده از رابطه زیر تعیین می‌گردد.

$$C = \frac{C_i A_i}{\sum A} \quad (3)$$

در جدول شماره ۲ ضریب رواناب سطوح مختلف براساس سلیمانی، ۱۳۹۴ تهیه و تنظیم گردیده است.
ضریب (CN)

شماره منحنی رواناب (CN) یک پارامتر مربوط به خصوصیات حوضه بوده که بین صفر تا صد متغیر است و مقادیر آن به گروههای هیدرولوژیکی خاک، شرایط و نوع پوشش خاک، درصد مناطق غیرقابل نفوذ در حوضه و شرایط رطوبت پیشین خاک بستگی دارد. مقادیر آن در جدول زیر برای کاربری‌های مختلف شهری آورده شده است (مهدوی، ۱۳۸۶).

جدول ۲: شماره منحنی (CN) رواناب برای حوضه‌های شهری (مهدوی، ۱۳۸۶)

D	C	B	A	نوع پوشش هیدرولوژیکی
				مناطق باز (پارک، گورستان، زمین بازی)
۸۹	۸۶	۷۹	۶۸	شرایط ضعیف پوشش علفی <٪۵۰
۸۴	۷۹	۶۹	۴۹	شرایط متوسط پوشش علفی ٪۵۰ - ٪۷۵
۸۰	۷۴	۶۱	۳۹	شرایط خوب پوشش علفی <٪۷۵
۹۸	۹۸	۹۸	۹۸	غیر قابل نفوذ
				خیابان و جاده‌ها
۹۸	۹۸	۹۸	۹۸	پیاده رو با آبراهه‌های دفع رواناب
۹۳	۹۲	۸۹	۸۳	پیاده رو با آبراهه‌های روباز
۹۱	۸۹	۸۵	۷۶	جاده شوسه
۷۹	۸۷	۸۲	۷۲	جاده خاکی
۹۵	۹۴	۹۲		مناطق تجاری
۹۳	۹۱	۸۳	۸۱	مناطق صنعتی
				مناطق مسکونی با متوسط قطعات (بر حسب مترمربع)
۹۲	۸۹	۸۵	۷۷	۵۰۰ زیر
۸۷	۸۳	۷۵	۶۰	۱۰۰۰
۸۱	۸۶	۵۷	۵۲	۱۳۵۰
۸۵	۸۰	۷۰	۵۴	۲۰۰۰
۸۴	۷۹	۶۸	۵۱	۴۰۰۰
۸۲	۷۷	۶۵	۴۵	۸۰۰۰
۹۴	۹۱	۸۶	۷۷	مناطق تازه تسطیح شده در حال توسعه

جدول ۳: گروه بندی هیدرولوژیکی خاک (مهدوی، ۱۳۸۶)

گروه هیدرولوژیک	نفوذپذیری	بافت خاک
A	۱۱/۴۳ - ۷/۶۲	سنگریزه/ماسه ای درشت/ماسه دانه ریز/ماسه/ماسه تا ماسه لومی/ماسه لومی
B	۷/۶۲ - ۳/۸۱	ماسه لومی تا لوم ماسه ای/لوم ماسه ای تا لوم/لوم تا ماسه و گراول/لوم/لوم تا رس/لوم تا لوم سیلتی/لوم رسی/ماسه و گراول
C	۳/۸۱ - ۱/۲۷	رس لومی ارس لومی تا رس لومی سیلتی/سیلت لومی/ars لوم سیلتی/سیلت لومی تا رس لومی سیلتی ارس ماسه ای لومی/ارسلومی سیلتی تا رس سیلتی/ars سیلتی/ars سیلتی تا رس رس/تورب
D	۱/۲۷ - ۰/۵	

جدول ۴: ضریب رواناب سطوح مختلف (مهدوی، ۱۳۸۶)

سطوح روکش شده	ضریب رواناب
آسفالت و بتن	۰/۹۵ - ۰/۷
آجر	۰/۸۵ - ۰/۷
ریگ و قلوه سنگ	۰/۶۰ - ۰/۲۵
پیاده روها و جاده های شن ریزی شده	۰/۳۰ - ۰/۱۵
خیابان و پیاده روهای قیرپاشی شده شبیه ۰ تا ۳ درصد	۰/۸۵
خیابان و پیاده روهای قیرپاشی شده شبیه ۳ تا ۶ درصد	۰/۹
خیابان و پیاده روهای قیرپاشی شده شبیه بیش از ۶ درصد	۰/۹۵
آسفالت و بتن	۰/۹۵ - ۰/۷
خیابان های فرعی با شبیه ۰ تا ۵ درصد	۰/۹۵ - ۰/۷۵
خیابان های فرعی با شبیه بیش از ۵ درصد	۰/۹۵
پشت بام های پرشیب	۰/۹
بام های مسطح و کم شبیه	۰/۷۵ - ۰/۵۰
خاک های شنی با شبیه کم (تا ۲ درصد)	۰/۱ - ۰/۰۵
خاک های شنی با شبیه متوسط	۰/۱۵ - ۰/۱
خاک های شنی با شبیه زیاد (بالای ۷ درصد)	۰/۱ - ۰/۱۵
خاک های رسی با شبیه کم (تا ۲ درصد)	۰/۱۷ - ۰/۱۳
خاک های رسی با شبیه متوسط	۰/۲۲ - ۰/۱۸
خاک های رسی با شبیه زیاد (بالای ۷ درصد)	۰/۳۵ - ۰/۲۵
اراضی باир و توسعه نیافته	۰/۰۵
باغ ها	۰/۱
میادین بازی و ورزش	۰/۲
سطوح روکش شده	ضریب رواناب
آسفالت و بتن	۰/۹۵ - ۰/۷
آجر	۰/۸۵ - ۰/۷
ریگ و قلوه سنگ	۰/۶۰ - ۰/۲۵

۰/۳۰ - ۰/۱۵	پیاده روهای جاده های شن ریزی شده
۰/۸۵	خیابان و پیاده روهای قیرپاشی شده شیب ۰ تا ۳ درصد
۰/۹	خیابان و پیاده روهای قیرپاشی شده شیب ۳ تا ۶ درصد
۰/۹۵	خیابان و پیاده روهای قیرپاشی شده شیب بیش از ۶ درصد
۰/۹۵ - ۰/۷	آسفالت و بتن
۰/۹۵ - ۰/۷۵	خیابان های فرعی با شیب ۰ تا ۵ درصد
۰/۹۵	خیابان های فرعی با شیب بیش از ۵ درصد
۰/۹	پشت بام های پرشیب
۰/۷۵ - ۰/۵۰	بام های مسطح و کم شیب
۰/۱ - ۰/۰۵	خاک های شنی با شیب کم (تا ۲ درصد)
۰/۱۵ - ۰/۱	خاک های شنی با شیب متوسط
۰/۱ - ۰/۱۵	خاک های شنی با شیب زیاد (بالای ۷ درصد)
۰/۱۷ - ۰/۱۳	خاک های رسی با شیب کم (تا ۲ درصد)
۰/۲۲ - ۰/۱۸	خاک های رسی با شیب متوسط
۰/۳۵ - ۰/۲۵	خاک های رسی با شیب زیاد (بالای ۷ درصد)
۰/۰۵	اراضی با بر و توسعه نیافته
۰/۱	باغ ها
۰/۲	میادین بازی و ورزش

داده ها و روش ها

در این پژوهش برای پنهانبندی خطر سیل خیزی و سیلگیری شهر ساری از لایه های کاربری اراضی، تراکم مسکونی، تراکم جمعیتی، لایه شیب، فاصله از رودخانه، فضای باز، ضریب رواناب، ضریب^۱ CN (شماره منحنی) و لایه قدمت ابنيه استفاده شده است. مراحل انجام پژوهش فراهم آوردن داده های اولیه، آماده کردن آن ها در محیط GIS، آنالیز تصمیم چند معیاره و تهیه نقشه بندی خطر سیل می شود. محاسبه وزن ها پس از استاندارد شدن فازی صورت گرفته و وزن ها از طریق نرم افزار Expert Choice صورت گرفت و پس از به دست آوردن وزن ها وارد محیط Idrisi شد و مرحله Fuzzy در این نرم افزار به اجرا در آمد.



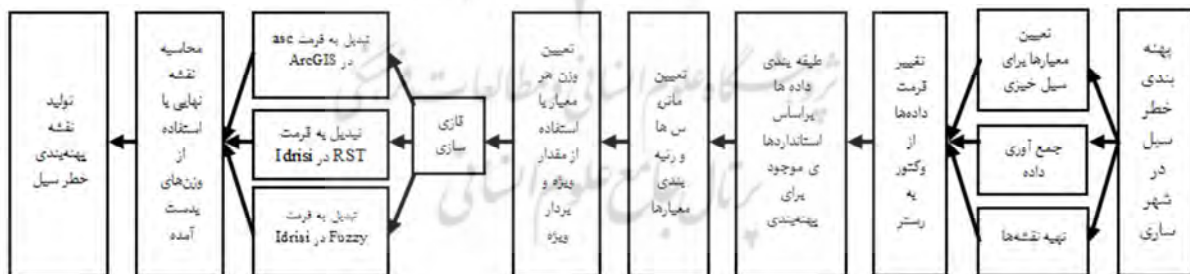
شکل ۳: نمایش یک سیستم فازی (منبع: عطایی، ۱۳۱۹)

^۱ Curve Number

با توجه به این که پدیده‌هایی نظیر سیلاب تحت تأثیر عوامل بسیاری قرار دارند و این عوامل قطعی و صد در صد نیستند، بنابراین بهتر است در مطالعه چنین پدیده‌هایی به جای استفاده از مدل بولین که لازمه آن داده‌های دقیق و کمی است، از مدل فازی استفاده شود. با استفاده از نظریه فازی می‌توان متغیرهای نادقيق و مجهم را به شکل ریاضی درآورد (مومنی، ۱۳۷۸).

تئوری مجموعه‌های فازی و منطق فازی اولین بار توسط پروفسور لطفی زاده در سال ۱۹۶۵ در رساله‌ای به نام (مجموعه‌های فازی-اطلاعات و کنترل) معرف شد. در این پژوهش از عملگر گاما فازی استفاده شده است که نقش تعدیلی نسبت به نتیجه جمع و ضرب فازی دارد و حساسیت خیلی بالای عملگر ضرب فازی و حساسیت خیلی کم عملگر جمع فازی را تعدیل کرده و به وقوعیت نزدیک‌تر می‌کند. این عملگر بر حسب حاصل ضرب جبری فازی و حاصل جمع جبری فازی تعریف می‌شود. مقدار در نظر گرفته شده برای گاما مقادیری در خروجی ایجاد می‌کند که با اثر افزایشی جمع جبری و اثر کاهشی ضرب جبری فازی سازگاری دارد. پس باید در نظر داشت که انتخاب صحیح مقدار گاما در بالا بردن دقت کار بسیار مفید است. با توجه به مطالعات انجام شده و نتایج آن‌ها و نیز اجرا و مقایسه مقادیر مختلف گاما، در نهایت از گامای ۰/۹ استفاده شد.

بعد از تعیین فاکتورها از نقشه‌های رقومی موجود، اسناد مكتوب، آمارنامه‌ها و گزارش‌های مختلف برای تهیه نقشه‌ها و اطلاعات موردنیاز استفاده شد که پس از ویرایش و تعریف روابط توپولوژیک وارد نرم افزار ArcGIS شدند. همچنین برای پهنه‌بندی محدوده خطر از مدل‌های پیشرفته‌ای همچون FUZZY استفاده گردید.



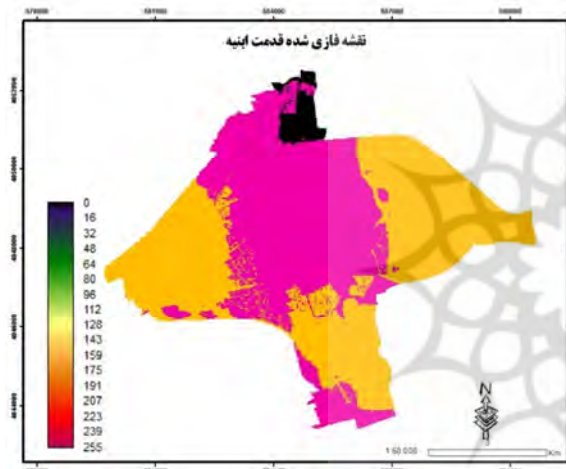
شکل ۴: روند نمای انجام مراحل تحقیق (منبع: نگارندگان)

لایه‌های مورد استفاده در این تحقیق عبارتست از:

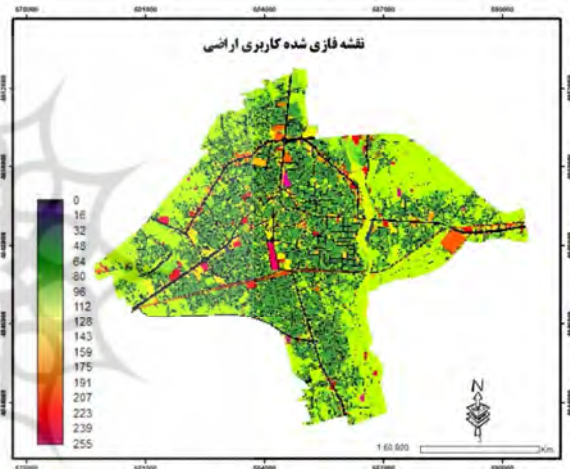
جدول ۵: منابع داده‌ها (منبع: نگارندگان)

منابع	نقشه
نقشه شهر ساری با دقت ۱:۵۰۰۰	نقشه کاربری اراضی
نقشه شهر ساری با دقت ۱:۵۰۰۰	نقشه مسیل

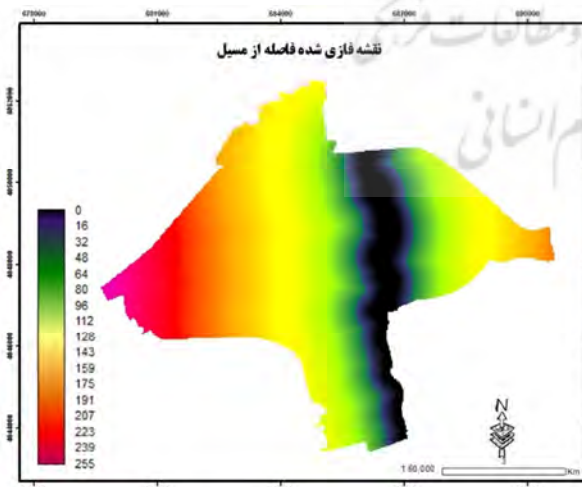
نمودار ارتفاعی (DEM) با قدرت تفکیک ۱۰ متر	نقشه شبیه
نقشه کاربری اراضی، بافت خاک و هیدرولوژیک خاک	نقشه ضریب CN
تصاویر لندست ۸	نقشه پوشش گیاهی
پوشش گیاهی، بافت خاک و شیب منطقه	نقشه ضریب رواناب
اطلاعات سرشماری نفوس و مسکن در سال ۱۳۹۰	نقشه تراکم جمعیت
اطلاعات سرشماری نفوس و مسکن در سال ۱۳۹۰	نقشه تراکم مسکونی
لایه کاربری اراضی	نقشه فضای باز
براساس صدور پایان کار (تعاونت شهرسازی و معماری شهرداری شهر ساری، ۱۳۹۳)	نقشه قدمت اینیه



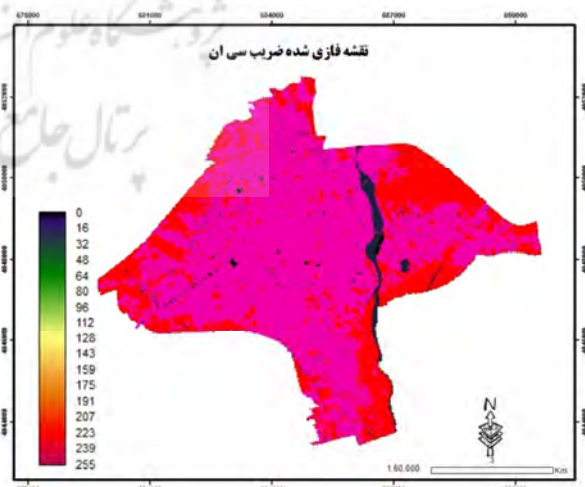
شکل ۶: قدمت اینیه شهر ساری



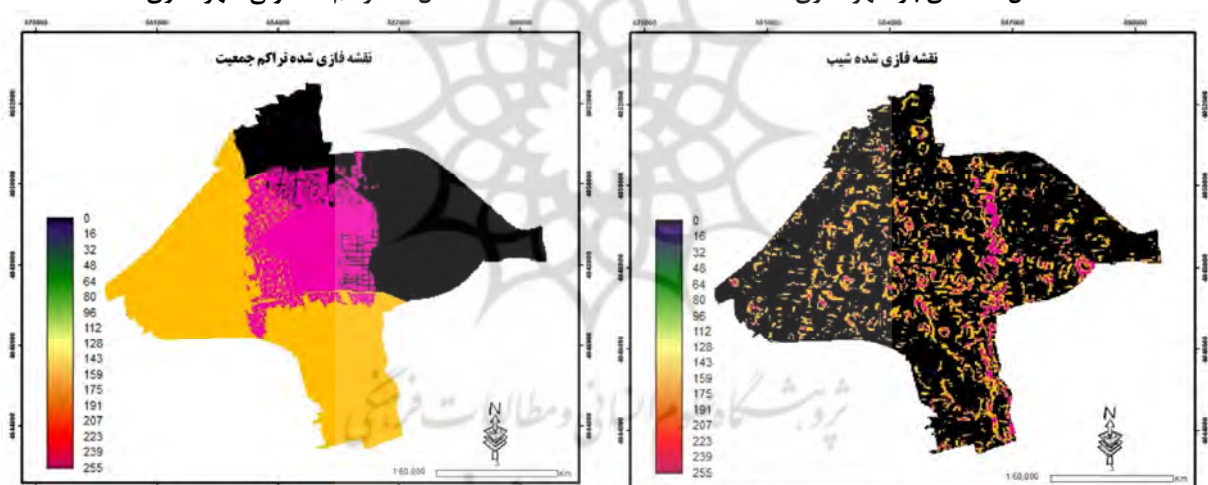
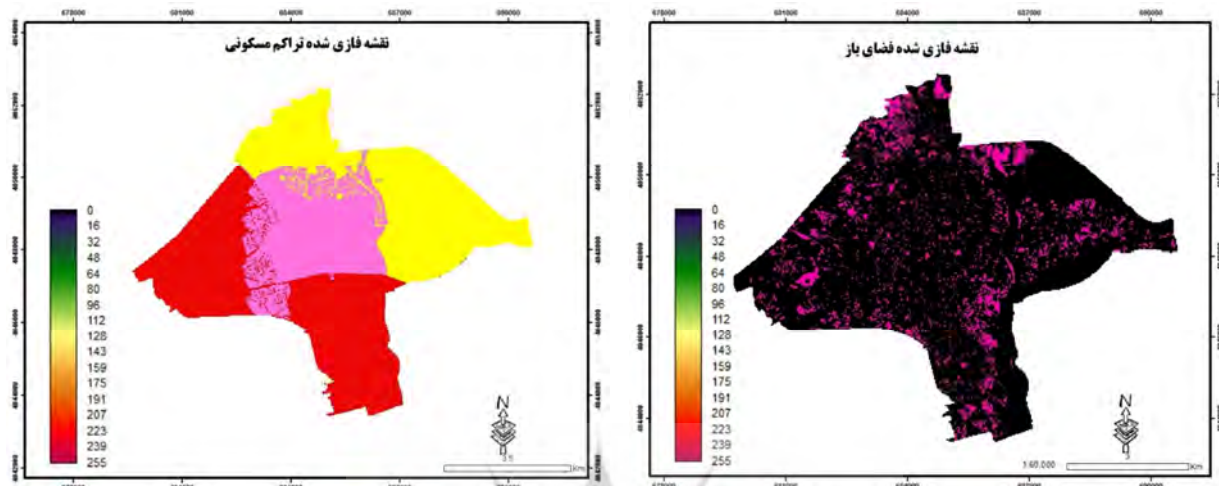
شکل ۵: کاربری اراضی شهر ساری



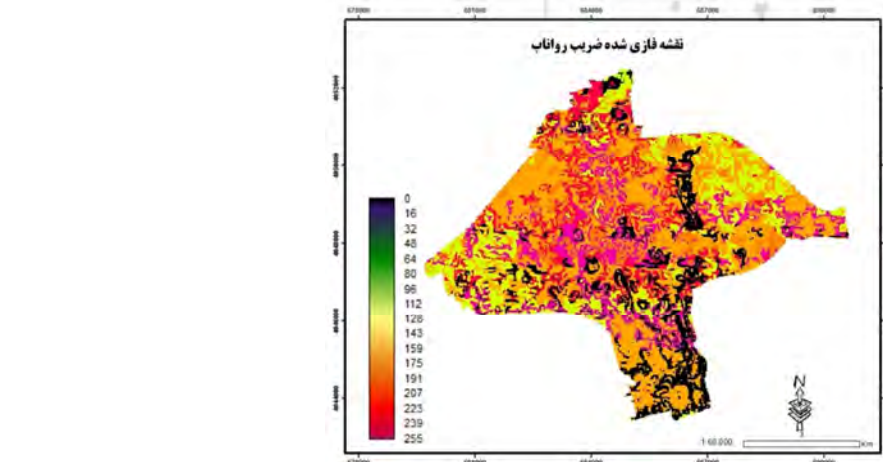
شکل ۸: فاصله از مسیل شهر ساری



شکل ۷: ضرب CN شهر ساری



شکل ۹: فضای باز شهر ساری

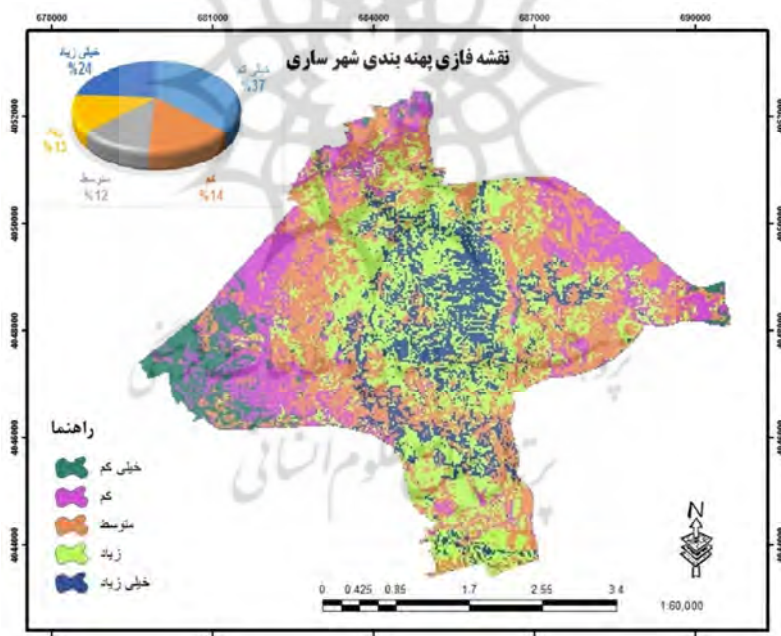


شکل ۱۱: شب شهر ساری

شکل ۱۲: ضریب رواناب شهر ساری

نتایج و بحث

همانگونه که بیان گردید وجود معیارهای مختلف و گاه متضاد برای تصمیم‌گیری کاربرد روش‌های چندمتغیره را الزامی می‌سازد. در این پژوهش نیز از معیارهای مختلف طبیعی و انسانی برای رسیدن به هدف استفاده گردید. طی این فرآیند ابتدا شاخص‌های طبیعی و انسانی مورد نیاز و تاثیرگذار در قالب ۹ شاخص فاصله از مسیل، قدمت اینیه، تراکم مسکونی، تراکم جمعیتی، شیب، ضریب رواناب، ضریب CN، کاربری اراضی، فضای باز، تهیه و ویرایش شدند. ابتدا لایه‌ها را در محیط ArcGIS به فرمت asc تبدیل کرده و سپس به محیط Idrisi وارد می‌کنیم و با فرمت RST ذخیره می‌کنیم. بعد از آن در محیط Idrisi، لایه‌ها را جداگانه به صورت فازی ذخیره می‌کنیم و در نهایت با استفاده از مدل فازی و دادن وزن‌ها به هر کدام از لایه‌ها، نقشه نهایی یا همان نقشه پنهنه بندی خطر سیل را تهیه می‌کنیم. نقشه را به محیط ArcGIS وارد کرده و با استفاده از Reclassify نقشه را به ۵ کلاس با خطر خیلی کم، کم، متوسط، زیاد و خیلی زیاد کلاس‌بندی می‌کنیم.



شکل ۱۴: نقشه پنهنه بندی سیلاب شهر ساری (منبع: نگارندگان)

جدول ۶: بررسی میزان خطر در کاربری ها (منبع: نگارندهان)

میزان خطر	فاصله از رودخانه (متر)	تصویر	نام کاربری
خیلی زیاد	لب رودخانه واقع شده اند		پارک و فضای سبز
کم	۹۰۰-۱۰۰۰		مذهبی
متوسط	۳۰۰-۵۰۰		بهداشتی
زیاد	۱۰۰-۲۰۰		تجاری
زیاد	۱۰۰-۲۰۰		مسکونی

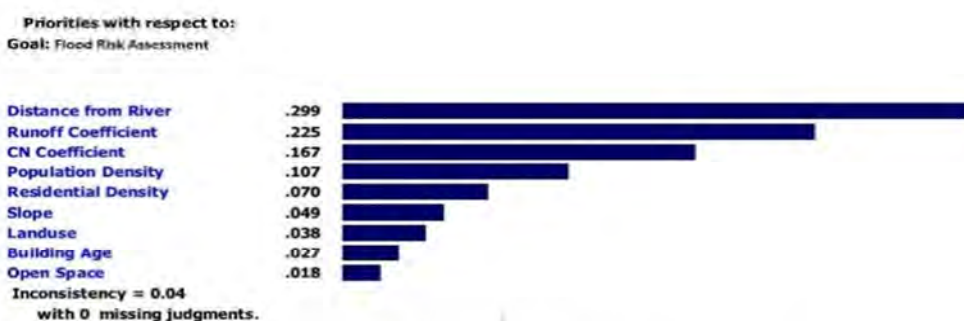
جدول ۷: جدول روش ترکیبی خطی وزن دار (منبع: نگارندهان)

نام تابع فازی	نوع تابع فازی	تابع عضویت	حد آستانه		لایه نقشه
			c یا a	d یا b	
Linear	افزایشی	$M_A(x) = \begin{cases} 0, & x \leq 500 \\ \frac{x - 500}{1000 - 500}, & 500 < x < 1000 \\ 1, & x > 1000 \end{cases}$.	۶۷۱۴/۲۴	فاصله از رودخانه

User defined	-	$if(x) = \begin{cases} 0, & \text{بدون جمعیت} \\ 0.2, & \text{تراکم کم} \\ 0.6, & \text{تراکم متوسط} \\ 0.8, & \text{تراکم زیاد} \end{cases}$	۱	۳	تراکم جمعیت
sigmodial	کاهشی	$M_A(X) = \begin{cases} 1, & x \leq 10 \\ \frac{1}{2} \left[1 + \cos \left(\pi \frac{x - 10}{30 - 10} \right) \right], & 10 \leq x \leq 30 \\ 0, & x > 30 \end{cases}$	۱	۵	شیب
User defined	-	$if(x) = \begin{cases} .2, & \text{بدون ساختمان} \\ .4, & \text{تراکم کم} \\ .6, & \text{تراکم متوسط} \\ .8, & \text{تراکم زیاد} \\ 1, & \text{تراکم خیلی زیاد} \end{cases}$.	۱۲۱۴	تراکم ساختمانی
Linear	افزایشی	$M_A(x) = \begin{cases} 0, & x = 0.1 \\ \frac{1}{2} \left[1 - \cos \left(\pi \frac{x - 0.1}{0.8 - 0.1} \right) \right], & 0.1 < x < 0.8 \\ 1, & x = 0.8 \end{cases}$.۱۶	.۱۶۵	ضریب رواناب
User defined	-	$if(x) = \begin{cases} .2, & \text{پارک و فضای سبز تجهیز شده پایر} \\ .4, & \text{منهی، بهداشتی، ورزشی} \\ .6, & \text{اراضی باغی، اموختی، درمانی} \\ .8, & \text{فرهنگی، نظامی، تجاری} \\ 1, & \text{حمل نقل و اتبار، دامداری} \\ 2, & \text{چهانگردی، اداری و انتظامی} \\ 6, & \text{کشاورزی، کارگاهی صنعتی} \\ 7, & \text{تاسیسات و تجهیزات شهری} \\ 8, & \text{مسکونی} \end{cases}$	۱	۲۱	کاربری اراضی
User defined	-	$if(x) = \begin{cases} 1, & \text{پایر} \\ .2, & \text{نوپاژ} \\ .6, & \text{تمیری} \\ .8, & \text{تخربی} \end{cases}$	۱	۳	عمر ابنيه
Linear	افزایشی	$M_A(X) = \begin{cases} 0, & x = 67 \\ \frac{1}{2} \left[1 - \cos \left(\pi \frac{x - 67}{92 - 67} \right) \right], & 67 < x < 92 \\ 1, & x = 92 \end{cases}$	۲۵	.۸۴	ضریب CN
User defined	-	$if(x) = \begin{cases} .2, & \text{فضای باز} \\ .8, & \text{متراکم} \end{cases}$	۱	۲	فضای باز

یکی از روش‌های ارزیابی و وزن دهی، روش تحلیل سلسله مراتبی است که به وسیله پروفسور توomas-Al-Sاعتبی (Saaty) در سال ۱۹۸۰ مطرح گردید که از طریق نرم افزار Expert Choice امکان ایجاد اتخاذ تصمیمی منطقی در راستای انتخابی مطلوب را برای تصمیم گیرنده فراهم می‌کند (Tolga, 2005). این نرم افزار نتایج مقایسات را به

شکل جدول و انواع نمودار نمایش می‌دهد. یکی از مزایای این نرم افزار آن است که همزمان با مقایسات، نرخ ناسازگاری را نیز نمایش می‌دهد که در مقایسه معیارهای مربوطه، نرخ سازگاری ۰/۰۲ است.



شکل ۱۵: وزن لایه‌ها در نرم افزار Expert Choice (منبع: نگارندگان)

نتیجه‌گیری

نقشه خطر سیل می‌تواند در تعیین مکان‌های توسعه استفاده شود تا از ریسک آسیب‌پذیری مردم و خسارت کاربری‌ها بکاهد. نقشه آسیب‌پذیری منطقه، وضعیت ساختمان‌ها نسبت به سیل را نشان می‌دهد و بیان می‌کند که در قسمت‌هایی که آسیب‌پذیری درجه بالایی دارد، باید عملیات کنترل سیلاب و سیستم‌های هشداردهنده سیلاب در نظر گرفته شود.

نقشه خطر سیل شهری ابزار جدیدی است که می‌تواند به برنامه ریزان و تصمیم گیرندگان شهری، برای مثال در ارزیابی کارآمدی زیرساخت‌های شبکه‌ی زهکشی و اقدامات توسعه‌ای مورد نیاز آن‌ها به منظور کاهش خطرپذیری جمعیت و تأسیسات شهری از خسارت‌های سیلاب، کمک کند.

در این پژوهش خطر سیلاب در محدوده شهر ساری، با استفاده از منطق فازی با درجات مختلف معین شده است. در پهنه‌بندی سیلاب لایه‌های شیب، تراکم مسکونی، تراکم جمعیت، ضریب رواناب، ضریب CN، فضای باز، کاربری اراضی، فاصله از مسیل و قدمت اینیه استفاده شده است. سپس به هریک از لایه‌ها براساس میزان تأثیر آن‌ها در خطر سیل وزن داده شد و وارد مدل گردیدند. با توجه به نقشه نهایی به دست آمده در سیلاب، پهنه‌های با خطر بسیار زیاد در بخش مرکزی و جنوبی شهر واقع گردیده‌اند. نواحی کم خطر نیز در مناطقی دور از رودخانه که شیب کمتری دارند واقع شده‌اند. نقشه پهنه‌بندی خطر سیل نشان می‌دهد که ۲۴/۱۲ درصد از محدوده نقشه در پهنه‌بندی خطر خیلی زیاد، ۹۵/۱۲ درصد در پهنه‌بندی خطر زیاد، ۷۶/۱۱ درصد در پهنه‌بندی خطر متوسط، ۱۲/۱۲ درصد در پهنه‌بندی خطر کم و ۰/۳۷ درصد در پهنه‌بندی خطر خیلی کم قرار گرفته‌اند.

به طور کلی، می‌توان اظهار داشت که نقشه‌های پهنه‌بندی خطرات طبیعی به مدیریت غیرسازه‌ای سیل کمک می‌کنند و به برنامه‌ریزان این امکان را می‌دهند تا بخش‌های امن‌تر از نظر سیل خیزی را برای توسعه انتخاب کنند. با استفاده از ایجاد دیوارهایی مناسب جهت کاهش خطر می‌توان اقدام نمود. یکی دیگر از پیشنهادات مقاوم سازی ساختمان‌های اطراف رودخانه برای کاهش خسارات ناشی از زلزله می‌باشد.

منابع

- اصغری مقدم محمد رضا. (۱۳۸۴). آب و زیستگاه شهری. انتشارات سرا، تهران. چاپ اول. ۱۶۸ صفحه.
- احمدی ایلچخی عباس؛ حاج عباسی محمدعلی؛ جلالیان احمد. (۱۳۸۱). اثر تغییر کاربری زمین های مرتعی به دیم کاری بر تولید رواناب. مجله علوم و فنون کشاورزی و منابع طبیعی. شماره ۶. صص ۲۵-۳۶.
- امیر احمدی، ابوالقاسم؛ بهنیافر، ابوالفضل؛ ابراهیمی، مجید. (۱۳۹۰). ریزپنهنه بندی خطر سیلاب در محدوده شهر سبزوار در راستای توسعه پایدار شهری، فصلنامه آمایش محیط، شماره ۱۶، صص ۳۲-۱۷.
- انصاری منش امیر رضا، (۱۳۹۱). مدیریت سیستم های جمع آوری و انتقال رواناب در سیلاب شهری با بهره گیری از شبیه سازی رایانه ای. پایان نامه. دانشگاه آزاد اسلامی واحد تهران مرکزی.
- بهشتی راد مسعود؛ فیض نیا سادات؛ سلاجقه علی؛ احمدی حسن. (۱۳۸۸). بررسی کارایی پنهنه بندی زمین لغزش فاکتور اطمینان: مطالعه موردی حوزه آبخیز معلم کلایه. فصلنامه جغرافیایی طبیعی. شماره ۵. ص ۲۰-۳۲.
- حسین زاده سید رضا؛ جهادی طرقی مهندز. (۱۳۸۶). اثرات گسترش شهر مشهد بر الگوی زهکشی طبیعی و تشدید سیلاب های شهری. پژوهش های جغرافیایی. شماره ۶۱. ص ۱۵۹-۱۴۵.
- حیدری علی. (۱۳۷۹). پیش بینی و کنترل زمان واقعی سیل. مجموعه مقالات چهارمین کنفرانس سدسازی، ص ۱۴۹.
- دادرسی سبزواری ابوالقاسم، (۱۳۸۷). مقایسه مدل فازی با سایر مدل های مفهومی سازگار با GIS در مکان یابی مناطق مستعد سیلاب با کاربرد اطلاعات ماهواره ای سنجنده + ETM. چاپ در مجموعه مقالات همایش ژئوماتیک ۸۷ تهران.
- سازمان مدیریت و برنامه ریزی استان مازندران. (۱۳۹۰). سرشماری نفوس و مسکن شهرستان ساری.
- شهرداری شهر ساری، معاونت شهرسازی و معماری. (۱۳۹۳). طرح جامع شهر ساری.
- طاھری بهبهانی محمد طاهر؛ بزرگ زاده مصطفی. (۱۳۷۵). سیلاب های شهری. انتشارات مرکز مطالعات و تحقیقات شهرسازی و معماری ایران، تهران. چاپ اول. ۵۳۷ صفحه.
- عبدی تبریز. (۱۳۸۵). بررسی پتانسیل سیل خیزی حوزه زنجان رود با روش SCS و سیستم اطلاعات جغرافیایی. مجله ملی آبیاری و زهکشی. شماره ۱۷. ص ۲۲-۳۳.
- مصطفود زاده حسن؛ امامی کیا وحید؛ رسولی علی اکبر. (۱۳۹۴). ریز پنهنه بندی خطر سیلاب در شهر تبریز با استفاده از روش AHP فصلنامه تحقیقات جغرافیایی. شماره ۱. ص ۱۸۰-۱۶۷.
- مومنی، منصور. (۱۳۷۸). مباحث نوین تحقیق در عملیات. انتشارات تهران، تهران. چاپ دوم. ۳۵۲ صفحه.
- مهدوی، محمد. (۱۳۹۲). هیدرولوژی کاربردی. انتشارات دانشگاه تهران، تهران. چاپ دهم. ۹۲۷ صفحه.
- Buchele, B., Kreibich, H., Kron, A., Theiken, A., Ihringer, J., Oberle, P., Merz, B. & Nestmann, F. (2006). Flood-Risk mapping: contributions towards an enhanced assessment of extreme events and associated risks. Natural hazards and Earth system sciences. Volume 6, 485-503.
- Correia, F.N., Da Graca Saraiva, M., Da Silva, F.N. & Ramos, I. (1999). Floodplain Management in Urban Developing Area. Part II. GIS-Based Flood Analysis and Urban Growth Modeling. Water Resources Management. Volume 1(13), 23-37.
- Hyalmarson. H.w. (1988). Flood Hazard zonation in Aridland. Wesley Publishers.
- Islam, M. D. & Kimistero S. (2000). Development of Flood Hazard Maps of Bangladesh Using NOAA-AVHRR Images with GIS. Hydrological Sciences Journal. Volume 3(45), 337-355.
- Jonkman, S.N. & Dawson, R.J. (2012). Issues and Challenges in Flood Risk Management-Editorial for the Special Issue on Flood Risk Management. Water 2012, 4(4), 785-792.
- Khan, S.I., Hong, T., Wang, J., Yilmaz, K.K., Gourley, J.J., Adler, R.F., Brakenridge, G.R., Policelli, F., Habib, S. & Irwin, D. (2011). Satellite Remote Sensing and Hydrologic Modeling for Flood Inundation Mapping in Lake Victoria Basin: Implications for Hydrologic Prediction in Ungauged Basins. IEEE Trans. Geosci. Remote Sens. 1(49), 85-95.
- Lin, J.Y., Yu, S.L. & Lee, T. C. (2000). Managing Taiwan's Reservoir Watersheds by the Zoning Approach. Journal of American Water Resources Association. Volume 36, 989-1001.
- Plate, E.J. (2002). Flood Risk and Flood Management. Journal of Hydrology. 267(1-2), 2-11.
- Tolga, E., Demircan, L.M. & Kahraman, C. (2005). Operating system selection using fuzzy replacement analysis and analytic hierarchy process. Journal Production economics. 1(97), 89-117.

Yang, C.R., & Tsai, C.T. (2000). Development of a GIS-Based Flood Information System for Floodplain Management and Damage Calculation. Journal of the American Water Resources Association. 36, 567-577.



Flood zoning using fuzzy analysis (case study: Sari city)

Hassan Mahmoudzadeh^{*1}, Maedeh Bakoooyi²

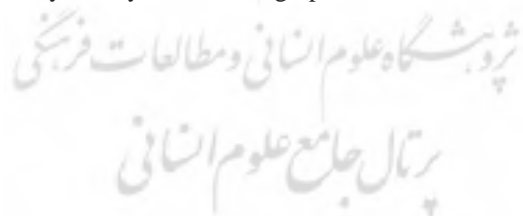
Received: 10-04-2017

Accepted: 26-06-2018

Abstract

Every year we see natural disasters causing major financial and human losses to human societies, and unfortunately, our country also has a bitter taste of it every now and then. Floods, earthquakes, droughts, frostbites, storms, and so on ... There are a lot of financial and financial losses to the country, which will require measures to reduce the damage caused by these disasters. Definitely the first step is to understand and understand these phenomena. The development of the process of urbanization and degradation of vegetation, soil erosion, and global climate change has already paid attention to the importance of addressing the issue of urban flood. This research was carried out to determine the risk of flooding in Sari using multi-criteria decision-making techniques. Using nine criteria, the distance from the river, runoff coefficient, CN coefficient, population density, residential density, slope, land use, age of the building and outdoor space were developed. By preparing the required layers, determining the weight of each layer based on their importance in the occurrence of flood. After the final weighing, the layers were compared in two to two by Expert Choice software and the matrices derived from these comparisons were transferred to Idrisi software and the final coefficient was determined for each layer. Finally, by applying these coefficients, ArcGIS software provided a flood risk zoning map in the city of Sari. The results show that flood risk in the center and south of the city has been the highest. Flood risk zoning map shows that 12.24% of the map area is in very high danger zone and 37.05% in very low risk zoning. To reduce the risk of retrofitting buildings around the river to reduce flood damage.

Keywords: Flood Zoning, Sari City, Fuzzy Model, Geographical Information System.



^{1*}- Assistant Professor of Geography and Urban Planning, Faculty of Geography and Environmental Planning, Tabriz University, Tabriz, Iran
Email: Mahmoudzadehg@tabrizu.ac.ir

²- Graduate Student, Remote Sensing and Geographic Information Systems, Faculty of Geography and Environmental Planning, Tabriz University, Tabriz, Iran